



左折)に要する時間  $t_l$  (or  $t_l'$ ): 細街路から主街路に出る際, 右折(左折)に要する時間  
 $t_r$  (or  $t_r'$ ): 主街路から細街路に入る際, 右折(左折)に要する時間

これを総走行距離の場合と同じく  $L_r$ ,  $L_r'$  の組合せについて算出し, 合計すればよい。

3. 格子状網に斜線を加えた場合, 図-3のような交通網を用いる。

この場合, 仮定(iii)より斜線の加わった区域は図-4のように6つの部分に分割される。この分割の境界線はABC部分では角Bの二等分線と, BCの中点とAを結ぶ直線とで決定される。ひか, 交差点における通過時間を道路を曲がる角度によって図-8のように定める。

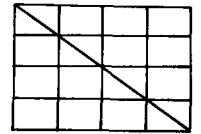


図-3

4. 六角形を基本ループとした場合, 図-5のような交通網を用いる。

1区域の面積が格子状網のものと同しくなるよう六角形の辺長を定めるものとする。式(4), (5)を用いる際, 図-5の矢印で示すように発生地点と吸収地点が横方向の同じ行にあるとき, 斜め方向の同じ行にあるとき, あるいはそれ以外のときの3つの場合に分けて  $p, q$  を考えると便利である。

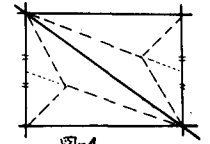


図-4

5. 三角形を基本ループとした場合 (a) 格子状網を基盤としたもの  
 格子状網に斜め線を入れて入れたものであり(図-6), 1区域は図-7のように1/2の部分に分割できる。これら1/2の部分の  $L_r$ ,  $L_r'$  が  $p, q$  のとり方により  $p > q, p = q, p < q, p = 0, q = 0$  の5つのパターンに分

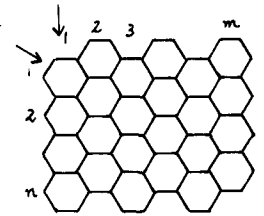


図-5

類で  $L_r$  と  $L_r'$  の組合せが14通りあるが半分は等しいものがあるから74通りの各場<sup>合</sup>について行う。ひか, 主街路の交差点を通過する際の時間的要素を図-8のように定めたものを用いる。

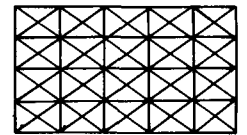


図-6

(b) 六角形を基盤としたもの。 図-8に示すように六角形の対角線を入れて結んだものである。

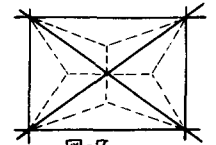


図-7

6. 上記交通網パターンとの比較方法。

同一面積の土地に交通網を設く場合, 最適なネットワークを見い出すのは困難があるが, パターンごとに検討すればどれが最上かは推しはかきことができる。主街路の道路密度が大きければトリップ長は当然短くなるが, どうしても交差点の数が増加することは避けられず, 信号処理が難しくなり, トリップ時間は必ずしも減少するとはいえない。たとえば, 3の場合<sup>2</sup>はこの場合に比べて斜線を利用するトリップ分だけ距離が減少するが, 6差路の交差点を通過する際, 4差路より時間を要することは明らかである。このことは時間的要素を具体的な数値で試算することによって明確としよう。また, 2と4を比較するには交通網全体の面積と主街路が囲まれた区域の個数を等しくお<sup>く</sup>ことによ<sup>り</sup>て可能である。ひか, 結果の詳細は講演時に報告する。

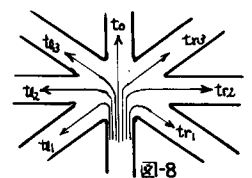


図-8

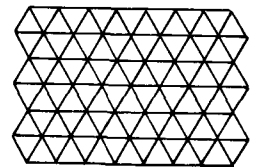


図-9

7. おわりに。 以上, 本研究では街路網を対象として, いくつかのネットワークパターン<sup>の</sup>の効率性を, 総トリップ長および総所要時間という2つの規準により基礎的な観点から比較検討したが, 交差点における諸係数を変化させることにより広範囲交通網に対して同様の考察ができればよい。